Rotor 51A

- Français
- English

Downloadable models
×

Open access

Git project

About

Ajouter

- Original NASA technical report [(cite:hager1974design>Hager. «Performance of a 1.15-pressure-ratio Axial-flow Fan Stage with a Blade Tip Solidity of 0.5» 1974. pdf)]:

```
@TechReport{osborn1974performance,
  author           = {Osborn, Walter Martin and Steinke, Ronald J},
  date             = {1974},
  institution      = {NASA Lewis Research Center Cleveland, OH, United
States},
  title            = {Performance of a 1.15-pressure-ratio Axial-flow Fan
Stage with a Blade Tip Solidity of 0.5},
  number           = {NASA-TM X-3052},
  url              = {https://ntrs.nasa.gov/citations/19740021256},
}
```

- Pictures :

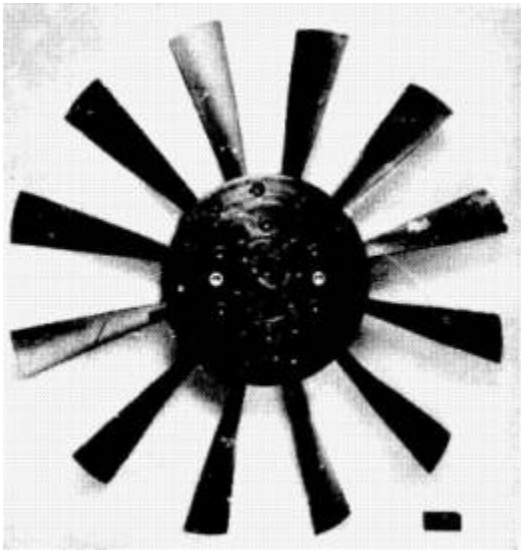


Fig1. https://ntrs.nasa.gov/citations/19740021256 p.67

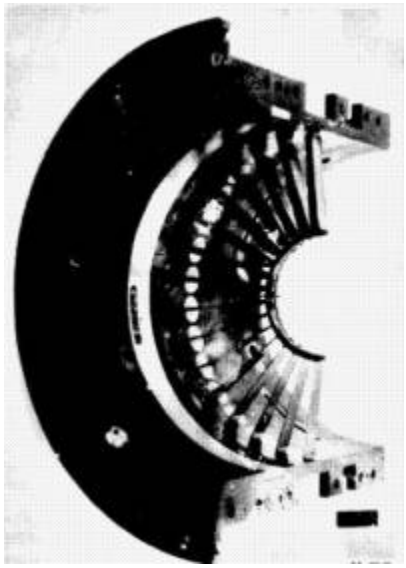


Fig2. https://ntrs.nasa.gov/citations/19740021256 p.67

Useful documents

- downloadable models (Git project)
  - NASA technical report (.pdf)
- (.csv), usable as input of OpenMCAD[(cite:Kojtych_2022_gene_aubes>Kojtych S., Batailly A. «OpenMCAD, an open blade generator: from Multiple-Circular-Arc profiles to Computer-Aided Design model» 2022. code en libre accès)] to generate reference blade models.

Reference blade

The **reference blade** is defined with multiple-circular arc profiles[(cite:Crouse_1969_computer)] given in the original NASA report[(cite:osborn1974performance)]. Corresponding models are computed with the open-source code OpenMCAD[(cite:Kojtych_2022_gene_aubes)].

Geometry

The geometry of rotor 51A is described in the original NASA report by the following table. The lenghts are in inches and the angles in degrees.

IMAGE

Aerodynamic design

^ ^ unit ^ value ^ ^ pressure ratio | [-] | 1.53 | ^ mass flow | [kg/s] | 33.5 | ^ tip speed | [m/s] | 350.8 | ^ tip solidity | [-] | 1.3 | ^ aspect ratio | [-] | 3.6 | ^ rotative speed | [rad/s] | 1381.25 |

Material properties

The material of rotor 51A is not defined in the original NASA report. A 200-grade maraging steel is considered: ^ ^ unit ^ value ^ ^ alloy | [-] | 18-Ni-200-maraging | ^ Young's modulus | [GPa] | 180 | ^ density | [kg/m3] | 8000 | ^ Poisson's ratio | [-] | 0.3 | ^ yield stress | [GPa] | 1.38 |

CAD model

The CAD model is computed with the open source code OpenMCAD[(cite:Kojtych_2022_gene_aubes)].



pressure side



suction side

Natural frequencies

First three natural frequencies (with clamped root) for the mesh computed with OpenMCAD[(cite:Kojtych_2022_gene_aubes)]:

Mode	Type	Natural angular frequency (rad/sec)	Natural frequency (Hz)
1		2578.588	410.395
2		8044.80	1280.37

Mode	Type	Natural angular frequency (rad/sec)	Natural frequency (Hz)
3		10763.98	1713.14

Initial blade

The **initial blade** is defined with in-house LAVA parameters[(cite:Kojtych_2022_Methodology)] computed from the reference blade CAD model. The initial blade is usually used as starting point for an optimization process. Its geometry is similar to the one of the reference blade.

Natural frequencies

First three natural frequencies (with clamped root)

- from the whole mesh:

Mode	Type	Natural angular frequency (rad/sec)	Natural frequency (Hz)
1		2560.66	407.541
2		8009.99	1 274.83
3		10726.52	1 707.18

- from the reduced order model:

Mode	Type	Natural angular frequency (rad/sec)	Natural frequency (Hz)
1		2560.75	407.556
2		8013.95	1275.46
3		10729.8	1707.7

Modèles téléchargeables

×

Libre accès

lien vers le projet Git

À propos

Ajouter

- Rapport technique original [(cite:hager1974design>)]:

```
@TechReport{osborn1974performance,
  author           = {Osborn, Walter Martin and Steinke, Ronald J},
  date             = {1974},
  institution      = {NASA Lewis Research Center Cleveland, OH, United
States},
  title            = {Performance of a 1.15-pressure-ratio Axial-flow Fan
Stage with a Blade Tip Solidity of 0.5},
```

```
  number           = {NASA-TM X-3052},
  url              = {https://ntrs.nasa.gov/citations/19740021256},
}
```

- Photographies :

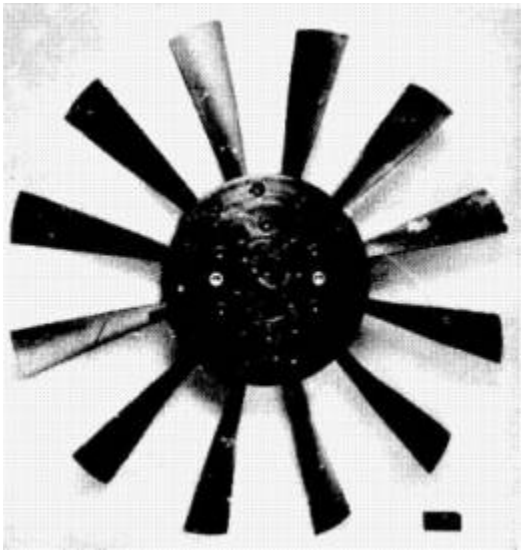


Fig1. https://ntrs.nasa.gov/citations/19740021256 p.67

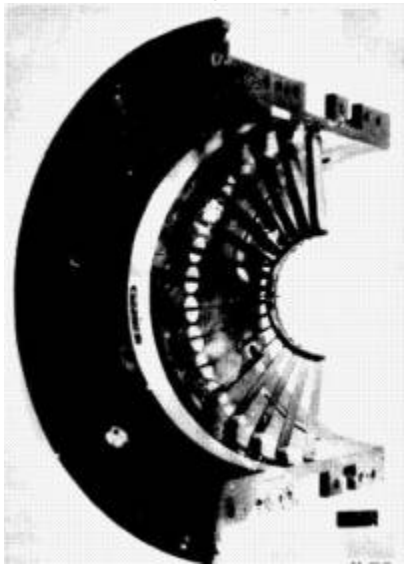


Fig2. https://ntrs.nasa.gov/citations/19740021256 p.67

Documents utiles

- modèles téléchargeables (lien vers projet Git)
  - rapport technique original de la NASA (.pdf)
- (.csv), utilisable en entrée de OpenMCAD[(cite:Kojtych_2022_gene_aubes>Kojtych S., Batailly A. «OpenMCAD, an open blade generator: from Multiple-Circular-Arc profiles to Computer-Aided Design model» 2022. code en libre accès)] pour générer l'aube de référence

Aube de référence

L'**aube de référence** est définie par des profils de type arcs circulaires multiples[(cite:Crouse_1969_computer>Crouse *et al*. «A computer program for composing compressor blading from simulated circular-arc elements on conical surfaces » 1969. NASA-TN-D-5437. pdf)], donnés dans le rapport technique original de la NASA[(cite:osborn1974performance)]. Les modèles associés sont obtenus avec le code en libre accès OpenMCAD[(cite:Kojtych_2022_gene_aubes)].

Géométrie

La géométrie du rotor 51A est décrite dans le rapport d'origine de la NASA par les tableaux suivants. Les grandeurs sont en pouces et en degrés.

image

==== Caractéristiques aérodynamiques ==== ^ ^ unité ^ valeurs ^ ^ taux de compression | [-] | 1,53 | ^ débit massique | [kg/s] | 33,5 | ^ vitesse en tête | [m/s] | 350,8 | ^ solidité en tête | [-] | 1,3 | ^ allongement | [-] | 3,6 | ^ vitesse de rotation | [rad/s] | 1381,25 |

Propriétés matériau

Le matériau original du rotor 51A n'est pas défini dans le rapport de la NASA. Un acier maraging de grade 200 est considéré:

	unité	**valeurs**
alliage	[-]	18-Ni-200-maraging
module d'Young	[GPa]	180
masse volumique	[kg/m3]	8000
coefficient de Poisson	[-]	0,3
limite élastique	[GPa]	1,38

Modèle CAO

Le modèle CAO est obtenu avec OpenMCAD[(cite:Kojtych_2022_gene_aubes)].



intrados



extrados

==== Fréquences propres ====

Fréquences des trois premiers modes (noeuds du pied d'aube encastrés) pour le maillage obtenu avec OpenMCAD[(cite:Kojtych_2022_gene_aubes)] :

Mode	Type	Pulsation propre (rad/sec)	Fréquence propre (Hz)
1		2578,588	410,395
2		8044,80	1280,37
3		10763,98	1713,14

Aube initiale

L'**aube initiale** est définie par des paramètres spécifiques au LAVA[(cite:Kojtych_2022_Methodology>Kojtych S. *et al*. «Methodology for the Redesign of Compressor Blades Undergoing Nonlinear Structural Interactions: Application to Blade-Tip/Casing Contacts » 2022. Journal of Engineering for Gas Turbines and Power, Vol. 145, No. 5. pdf)] obtenus à partir du modèle CAO de l'aube de référence. L'aube initiale est classiquement utilisée comme point de départ dans le cadre de procédures d'optimisation; sa géométrie est similaire à celle de l'aube de référence.

Fréquences propres

Fréquences des trois premiers modes (noeuds du pied d'aube encastrés),

- pour le maillage complet :

Mode	Type	Pulsation propre (rad/sec)	Fréquence propre (Hz)
1		2560,66	407,541
2		8009,99	1 274,83
3		10726,52	1 707,18

- pour le modèle réduit :

Mode	Type	Pulsation propre (rad/sec)	Fréquence propre (Hz)
1		2560,75	407,556
2		8013,95	1275,46
3		10729,8	1707,7

Document issu de la page wiki:
https://wiki.lava.polymtl.ca/public/modeles/rotor_51a/accueil?rev=1680404172

Dernière mise à jour: **2023/04/05 08:59**